

حل تحلیلی مسئله‌ی تماس بین یک گوه‌ی نامتقارن و یک نیم‌فضا

سعید ادیب‌نظری (استادیار)

داود نادری (دانشجوی دوره دکتری)

دانشکده مهندسی هوافضا، دانشگاه صنعتی شریف

امیررضا شاهانی (دانشیار)

دانشکده مهندسی مکانیک، دانشگاه خواجه نصیرالدین طوسی

در این نوشتار به بررسی مسئله‌ی تماس بین یک نفوذکننده به شکل گوه‌ی نامتقارن و یک نیم‌فضا^۱ پرداخته شده است. در آغاز، با استفاده از روش‌های تئوری الاستیسیته، معادلات حاکم بر مسئله را به دست آورده و سپس با حل این معادلات، توزیع فشار و طول ناحیه‌های تماس را در حالت بدون اصطکاک، محاسبه شده‌اند. بدین ترتیب، حالت کلی‌تری از مسائل تماسی مورد بررسی قرار گرفته و اثرات عدم تقارن بر توزیع فشار و طول ناحیه‌های تماس، مشخص شده‌اند. در نهایت پاسخ‌های به دست آمده در حالت خاص با کارهای قبلی مقایسه شده و صحت آنها اثبات شده است.

مقدمه

مسئله‌ی تماس یکی از اصلی‌ترین مسائل در مهندسی مکانیک است، چراکه بیشتر بارگذاری‌ها بر روی قطعات مکانیکی از همین طریق صورت می‌گیرد. در ضمن یکی از بحرانی‌ترین مسائل در قطعات مکانیکی، تمرکز تنش‌هایی است که در ناحیه‌های تماس به وجود می‌آیند.^[۱]

مسائل تماسی با توجه به هندسه‌ی دو جسم درگیر، به دو دسته تقسیم می‌شوند: مسائل تماس هرتزی^۲ و مسائل تماس غیر هرتزی^۳. مسائل تماس هرتزی، مسائلی هستند که در آنها اجسام درگیر شعاع انحنا محدودی دارند و تغییر ناگهانی در شعاع انحنا آنها وجود ندارد، مانند مسئله تماس دو کره یا دو استوانه. مسائل تماس غیر هرتزی به مسئله‌هایی اطلاق می‌شود که در آنها اجسام درگیر دارای نقاطی نوک تیز باشند، مانند مسئله تماس گوه‌ها. یکی از اصلی‌ترین پیچیدگی‌ها در هنگام بررسی مسائل تماس غیر هرتزی، وجود همین نقاط نوک تیز است که باعث می‌شود در حل تحلیلی، تنش در این نقاط به سمت بی‌نهایت میل کند. این پدیده را اصطلاحاً «منفرد بودن میدان تنش»^۴ می‌گویند. البته واضح است که این امر عملاً امکان‌پذیر نیست، چراکه اولاً نقطه‌ی کاملاً تیز واقعی وجود ندارد و تمام لبه‌ها دارای شعاع انحنا هستند؛ ثانیاً اگر تنش بخواهد به سمت بی‌نهایت میل کند در اثر ایجاد شدن پلاستیسیته‌ی موضعی در آن محل، تنش آزاد می‌شود.^[۲] اما این عامل -منفرد بودن میدان تنش- باعث می‌شود تا حل تحلیلی این‌گونه مسائل با

پیچیدگی‌های خاصی روبرو شود و حتی در غالب موارد ارائه‌ی حل تحلیلی برای آنها غیرممکن باشد.

ارائه‌ی مسئله‌ی کلاسیک تماس یک گوه با یک نیم‌فضا به دلیل شکل هندسی ساده‌ی که دارد، و نیز به دلیل کاربردهای فراوان آن در مواردی نظیر آزمایش‌های سختی‌سنجی، آزمایش‌های خستگی فرسایشی^۵ و همچنین قابلیت مدل‌سازی بسیاری از موارد عملی همچون درگیری بین رزوه‌های پیچ و مهره‌ها و دندانه‌های چرخ‌دنده‌ها، مورد بررسی‌های زیادی قرار گرفته است. ترومن و همکارانش مسئله تماس بین یک گوه‌ی کشسان متقارن و یک نیم‌فضا را مورد بررسی قرار داده‌اند که در انتها نتایج تحقیق اخیر با نتایج آنها مقایسه شده است.^[۳] در یک بررسی دیگر مسئله تماس بین یک گوه‌ی کشسان متقارن با رأس گرد و یک نیم‌فضا بررسی شده و اثرات گردی رأس بر توزیع فشار و میدان مشخص شده است.^[۴] مسئله‌ی تماس بین یک سنبله و یک نیم‌فضا را به روش تحلیلی حل کرده^[۵] و نتایج خود را با نتایج به دست آمده از روش اجزاء محدود مقایسه کرده‌اند.

در تمام کارهای ذکر شده، مسئله‌ی تماس در حالت متقارن مورد بررسی قرار گرفته است و هیچ‌یک به بررسی وجود عدم تقارن و تأثیرات ناشی از آن نپرداخته‌اند. در حالت کلی، فرض وجود تقارن، باعث ساده شدن روابط و مراحل حل یک مسئله می‌شود، اما باید توجه داشت که حذف این فرض، نه تنها به پیچیده‌تر شدن روابط و مراحل حل می‌انجامد، بلکه گاهی باعث می‌شود تا نتوان برای

روش معادلات انتگرالی است^{[۷] و [۸]} که کاربرد آن در حل مسائل تماس نیز مورد بررسی قرار گرفته است.^[۵] توزیع فشار تماسی روی ناحیهی تماس، به وسیلهی حل معادلهی انتگرالی زیر^[۵] به دست می آید:

$$\frac{1}{A} \frac{\partial h(x)}{\partial x} = \frac{1}{\pi} \int_L \frac{P(\xi)}{x-\xi} d\xi \quad (1)$$

که در این رابطه A (ثابت Dundurs) معیاری است از نرمی دو جسم^v و برای حالت کرنش صفحه‌یی^h چنین تعریف می شود:

$$A = \frac{1}{2} \left(\frac{1-\nu_1^2}{E_1} + \frac{1-\nu_2^2}{E_2} \right) \quad (2)$$

که در آن، E_1 و E_2 مدول یانگ⁹ و ν_1 و ν_2 نسبت پواسون^{۱۰} جسم اول و دوم هستند. در ضمن L بیانگر ناحیهی تماس است.

تابع $h(x)$ عبارت است از میزان هم پوشانی^{۱۱} دو جسم، با فرض آنکه بتوانند آزادانه در همدیگر نفوذ کنند (شکل ۲). بنابراین اگر چرخش صلب^{۱۲} اجسام محدود شده باشد، و تابع پروفیل هندسی اجسام در حالت بدون تغییر شکل، $y_1=f_1(x)$ و $y_2=f_2(x)$ باشد، $h(x)$ عبارت خواهد بود از:

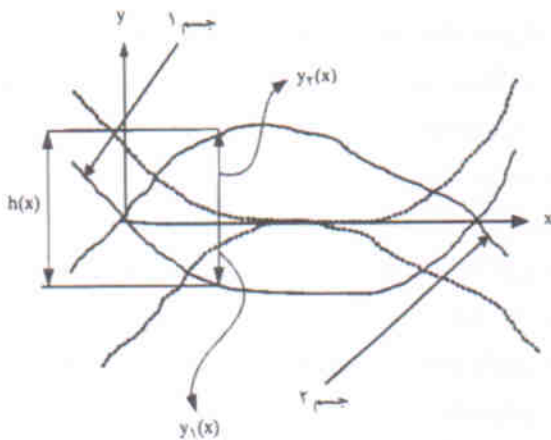
$$h(x) = C - [f_1(x) - f_2(x)] \quad (3)$$

لذا برای هندسهی مورد بررسی، $h(x)$ با استفاده از مفهوم توابع منفرد به صورت زیر نوشته می شود:

$$h(x) = \delta - \phi_1 \langle x \rangle + \phi_2 \langle -x \rangle \quad (4)$$

که در این رابطه، δ ماکزیم تغییر شکل سطح (در زیر رأس گوه) است. با مشتق گیری از رابطه‌ی ۴ و جایگذاری آن در رابطه‌ی ۱ چنین نتیجه می شود:

$$\frac{1}{A} \{-\phi_1 \langle x \rangle' + \phi_2 \langle -x \rangle'\} = \frac{1}{\pi} \int_{-b}^a \frac{P(\xi)}{x-\xi} d\xi \quad (5)$$



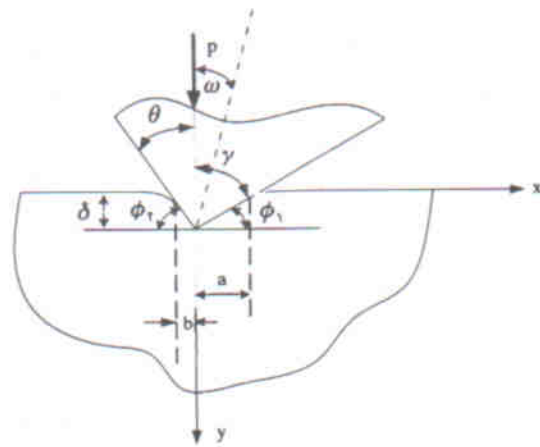
شکل ۲. همپوشانی.

مسئلهی مورد بررسی، از نظر تحلیلی جوابی پیدا کرد. از دیدگاه مهندسی هیچ قطعه‌یی رانمی توان کاملاً متقارن تولید کرد و همچنین در جاهایی مثل آزمایش های سختی سنجی و خستگی فرسایشی، نمی توان محور ماشین را کاملاً عمود بر سطح قطعه تنظیم کرد. لذا مشخص است که همخوانی جواب های مسئلهی متقارن، با آنچه که واقعاً اتفاق می افتد کم است.

مورد ذکر شده در بالا انگیزه‌یی شد برای بررسی مسئلهی تماس در حالت نامتقارن و مقایسه‌ی جواب های آن در حالت خاص با جواب های حالت متقارن. به منظور اثبات صحت جوابها.

مدل سازی و حل مسئله

هندسهی مورد بررسی در شکل ۱ نشان داده شده است. منظور از گوهی نامتقارن، گوهی است که در آن زوایای γ و θ (مطابق شکل) با هم برابر نباشند. مسئله هم برای حالتی که گوه صلب باشد و هم برای گوهی کشسان، مدل سازی شده است. باید توجه داشت که در حالت کشسان، برای کوچک نگه داشتن کرنش ها باید زوایای خارجی گوه، ϕ_1 و ϕ_2 کوچک باشند. این فرض اجازه می دهد تا بتوان از «رابطه کشسانی برای تغییر شکل های کوچک» استفاده کرد، که باعث سهولت در به دست آوردن حل تحلیلی مسئله می شود. همچنین هنگام به دست آوردن قوانین تماس و محاسبه‌ی توزیع فشار، برای جلوگیری از به وجود آمدن تنش های برشی سطحی^۶ بین دو جسم، فرض می شود که روغن کاری به خوبی انجام می شود یا دو جسم از نظر خواص کشسانی کاملاً مشابه اند. هر چند تأثیر این مؤلفه های برشی بر توزیع فشار تماسی بسیار کم است و می توان با دقت بسیار خوبی از نتایج به دست آمده استفاده کرد.^{[۵] و [۶]} روشی که در اینجا برای حل مسئله مورد استفاده قرار گرفته،



شکل ۱. هندسهی مورد بررسی.

این رابطه توزیع فشار $p(x)$ ناشی از تماس یک گوهی نامتقارن کشان با یک نیم فضای کشان را برحسب ϕ_1 و ϕ_2 (زوایای دیواره های گوه با سطح تغییر شکل نداده ی نیم فضا)، A (ثابت Dundurs) و α و ξ (مرتبط با طول ناحیه های تماس) به دست می دهد. طول ناحیه های تماس را با استفاده از تعادل استاتیکی می توان به دست آورد.

با توجه به تعادل:

$$p = \int_{-b}^a p(\xi) d\xi \quad (15)$$

با نرمال سازی^{۱۴} رابطه ی ۱۵ و استفاده از توزیع فشار نرمال شده (رابطه ی ۹) خواهیم داشت:

$$\frac{-\pi AP}{\phi_1 + \phi_2} = \alpha \int_{-1}^1 \ln \left| \frac{\alpha + \xi s + \sqrt{\alpha^2 - \xi^2} \sqrt{1 - s^2}}{\alpha s + \xi} \right| ds \quad (16)$$

مشاهده می شود که در رابطه ی ۱۶ دو مجهول α و ξ حضور دارند، لذا برای حل آن به یک معادله ی دیگر هم نیاز است. معادله ی دوم با استفاده از شرط سازگاری^{۱۵} برای حل پذیری معادله ی انتگرالی اصلی، معادله ی ۸ به دست می آید. این رابطه به صورت زیر نوشته می شود:^{۱۵}

$$\int_{-1}^1 \frac{-\phi < \alpha s + \xi >^* + \phi_2 < -\alpha s - \xi >^*}{A \sqrt{1 - s^2}} ds \quad (17)$$

با محاسبه ی انتگرال و ساده سازی، در نهایت رابطه ی ۱۷ به شکل زیر در می آید:

$$\frac{\xi}{\alpha} = \sin \left(\frac{\pi \phi_2 - \phi_1}{2\phi_2 + \phi_1} \right) \quad (18)$$

اکنون معادلات ۱۶ و ۱۸ به منظور یافتن a و b (طول ناحیه های تماس) مورد استفاده قرار می گیرند. با حل این معادلات:

$$\alpha = \frac{AP}{\phi_1 + \phi_2} \sec \left(\frac{\pi \phi_2 - \phi_1}{2\phi_2 + \phi_1} \right) \quad (19)$$

$$\xi = \frac{AP}{\phi_1 + \phi_2} \tan \left(\frac{\pi \phi_2 - \phi_1}{2\phi_2 + \phi_1} \right) \quad (20)$$

در نهایت با استفاده از روابط ۶ و ۷، طول ناحیه های تماس به دست می آیند:

$$a = \frac{AP}{\phi_1 + \phi_2} \left\{ \frac{1 + \sin \left(\frac{\pi \phi_2 - \phi_1}{2\phi_2 + \phi_1} \right)}{\cos \left(\frac{\pi \phi_2 - \phi_1}{2\phi_2 + \phi_1} \right)} \right\} \quad (21)$$

$$b = \frac{AP}{\phi_1 + \phi_2} \left\{ \frac{1 + \sin \left(\frac{\pi \phi_2 - \phi_1}{2\phi_2 + \phi_1} \right)}{\cos \left(\frac{\pi \phi_2 - \phi_1}{2\phi_2 + \phi_1} \right)} \right\} \quad (22)$$

در این رابطه، a و b طول ناحیه های تماس مطابق شکل ۱ هستند (لازم به ذکر است که طول بزرگ تر همواره a و طول کوچک تر همواره b انتخاب می شود). معادله ی ۵ یک معادله ی انتگرالی منفرد است که در این حالت حل تحلیلی برای آن وجود دارد.^[۸-۵]

با توجه به روابطی که برای معکوس کردن معادله ی ۵ وجود دارد،^[۵] باید حدود انتگرال را متقارن کرد. برای این کار با استفاده از نگاشت های خطی زیر:

$$\xi = \frac{a+b}{2} r + \frac{a-b}{2} = \alpha r + \xi \quad (6)$$

$$x = \frac{a+b}{2} s + \frac{a-b}{2} = \alpha s + \xi \quad (7)$$

می توان طرف راست معادله ی ۵ را به صورت رابطه ی ۸ نوشت:

$$\frac{1}{\pi} \int_{-1}^1 \frac{p(\alpha r + \xi)}{s - r} dr = \frac{-\phi < \alpha s + \xi >^* + \phi_2 < -\alpha s - \xi >^*}{A} \quad (8)$$

که در آن، $p(a)$ و $p(-b)$ هر دو محدودند، یعنی در دو انتهای ناحیه ی تماس، پدیده ی منفرد بودن^{۱۳} وجود ندارد و می توان نوشت: $p(a) = p(b) = 0$. لذا حل عمومی معادله ی ۸ در ناحیه ی $-1 \leq s \leq 1$ عبارت خواهد بود از:^[۷،۵]

$$p(s) = -\frac{\phi_1 + \phi_2}{\pi A} \ln \left| \frac{\alpha + \xi s + \sqrt{\alpha^2 - \xi^2} \sqrt{1 - s^2}}{\alpha s + \xi} \right| \quad (9)$$

برای بررسی صحت نتیجه ی به دست آمده، می توان در حالت خاص رابطه ی ۹ را برای یک گوهی متقارن نوشت و آن را با حل های موجود مقایسه کرد.^[۱۳] اگر گوه متقارن باشد:

$$\phi_1 = \phi_2 \quad (10)$$

در نتیجه $a = b$ و بنابراین:

$$\alpha = a; \xi = 0 \quad (11)$$

با جایگذاری روابط ۱۰ و ۱۱ در رابطه ی ۹ و ساده سازی آن، خواهیم داشت:

$$p(s) = \frac{\phi}{\pi A} \cosh^{-1} \left(\frac{1}{|s|} \right) \quad (12)$$

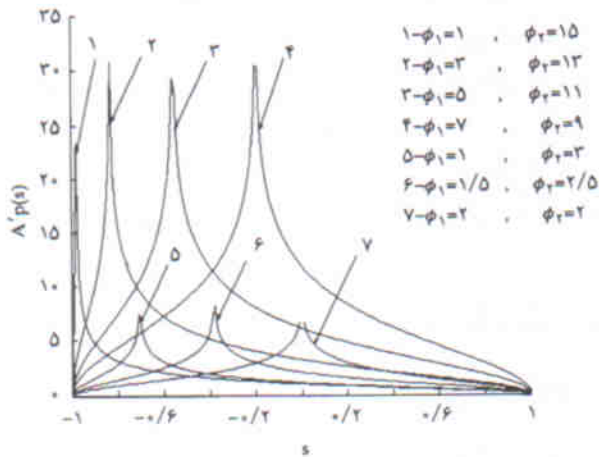
که این رابطه دقیقاً همان رابطه یی است که برای گوهی متقارن، توسط محققان دیگر به دست آورده شده است.^[۳]

برای محاسبه ی توزیع فشار برحسب مختصات x ، می توان با استفاده از رابطه ی:

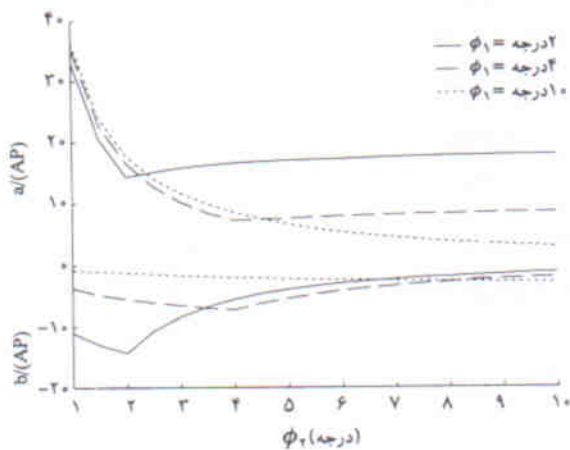
$$s = \frac{x - \xi}{a} \quad (13)$$

و جایگذاری آن در رابطه ی ۹ نوشت:

$$p(x) = -\left[\frac{\phi_1 + \phi_2}{\pi A} \right] \ln \left| \frac{\alpha^2 - \xi^2 + \xi x + \sqrt{\alpha^2 - \xi^2} \sqrt{\alpha^2 - (x - \xi)^2}}{\alpha x} \right| \quad (14)$$



شکل ۴. تغییرات $Ap(s)$ با ϕ_1 و ϕ_2 در $\phi_1 + \phi_2 = 16^\circ$ و $\phi_1 + \phi_2 = 4^\circ$ در حالت های $\phi_2 = 13^\circ$ و $\phi_2 = 15^\circ$ فقط برای نشان دادن حالت حدی نتایج آورده شده اند.



شکل ۵. تغییرات $\frac{a}{AP}$ و $\frac{b}{AP}$ بر حسب ϕ_2 در 1° و 4° و 2° ϕ_1

می کند و طول b کاهش. در ادامه ی این روند با افزایش بیشتر ϕ_2 طول تماس b به سمت صفر میل می کند و طول تماس a نیز به مقدار خاصی همگرا می شود.

نتیجه گیری

در تحقیق اخیر مسئله ی تماس یک گوی و یک نیم فضا در حالت نامتقارن مورد بررسی قرار گرفت و نتایج جدیدی در این زمینه به دست آمد. در ضمن در حالت خاص، صحت جوابها با به دست آوردن جواب های مسئله ی متقارن مورد تأیید قرار گرفته است. این مسئله در بسیاری از موارد عملی، از جمله سختی سنجی و آزمایش های خستگی فرسایشی، می تواند کاربرد داشته باشد.

در اینجا نیز برای بررسی صحت محاسبات انجام شده می توان نتایج را در حالت متقارن با کارهای قبلی مقایسه کرد. با ساده سازی روابط ۲۱ و ۲۲ برای حالت متقارن، رابطه ی ۲۳ حاصل می شود:

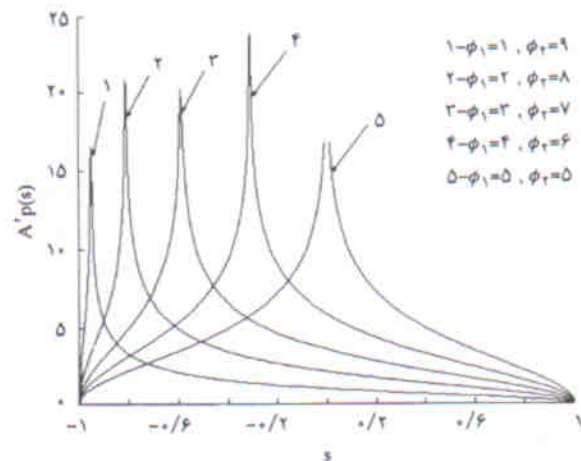
$$a = \frac{AP}{2\phi} ; \quad b = -\frac{AP}{2\phi} \quad (23)$$

که دقیقاً همان چیزی است که مورد انتظار بود و در ضمن با کارهای قبلی [۳] مطابقت کامل دارد. برای رسم تابع توزیع فشار، می توان رابطه ی ۹ را به شکل ساده تر زیر نوشت:

$$p(s) = \frac{\phi_1 + \phi_2}{\pi A} \ln \left[\frac{1 + \sin \left[\arccos(s) + \frac{\pi \phi_2 - \phi_1}{2\phi_1 + \phi_2} \right]}{s + \sin \left[\frac{\pi \phi_2 - \phi_1}{2\phi_1 + \phi_2} \right]} \right] \quad (24)$$

در شکل ۳ نمودار تغییرات $p(s)$ بر حسب s در زوایه های مختلف رسم شده است. مشاهده می شود که در صورت ثابت بودن $\phi_1 + \phi_2$ با افزایش اختلاف ϕ_1 و ϕ_2 اثرات عدم تقارن بیشتر می شود. در ضمن با افزایش $\phi_1 + \phi_2$ ، چنان که انتظار می رفت میزان تنش ها افزایش پیدا می کند (شکل ۴). به همین دلیل در ابتدای کار اخیر برای محدود نگه داشتن کرنش ها در زیر رأس گوی، ϕ_1 و ϕ_2 زوایای کوچکی فرض شده اند.

در نهایت در شکل ۵ نمودار تغییرات طول ناحیه های تماس بر حسب تغییرات ϕ_1 و ϕ_2 رسم شده است. مشاهده می شود که در یک ϕ_1 ثابت، با افزایش ϕ_2 طول تماس a کم شده و طول تماس b افزایش می یابد. این روند تا جایی ادامه پیدا می کند که گوی متقارن شود. در این نقطه طول های تماس a و b با هم برابر می شوند و پس از آن با افزایش ϕ_2 این روند معکوس می شود؛ یعنی طول a افزایش پیدا



شکل ۳. تغییرات $Ap(s)$ با ϕ_1 و ϕ_2 در $\phi_1 + \phi_2 = 10^\circ$

پانوشت

1. half-space
2. hertzian contact problems
3. non-hertzian contact problems
4. field singularity of stress
5. fretting fatigue
6. shearing tractions
7. composite compliance
8. plane-strain
9. Young's Modulus
10. Poisson's Ratio
11. overlap
12. rigid-body rotation
13. singularity
14. normalizing
15. consistency equation

منابع

1. Barber, J. R. and Ciavarella, M., "Contact mechanics". *International Journal of Solids and Structures*, **37**, pp 29-43 (2000).
2. Ciavarella, M., Hills, D.A. and Monno, J., "Contact problems

- for a wedge with rounded apex". *International Journal of Mechanical Sciences*, **30** (10), pp 977-988 (1998).
3. Truman, C.E., Sackfield, A. and Hills, D.A., "Contact mechanics of wedge and cone indenters". *International Journal of Mechanical Sciences*, **37** (3), pp 261-275 (1995).
4. Jager, J., "New analytical and numerical results for two-dimensional contact profiles". *International Journal of Solids and Structures*, **39**, pp 959-972 (2002).
5. Hills, D.A., Nowell, D. and Sackfield, A., "Mechanics of elastic contacts". Butterworth, Hienemann (1993).
6. Muskhelishvili, N.I., "Singular integral equations". *Noordhoff International Publishing*, (Translated by J.R.M. Radok) (1977).
7. Shtayerman, I. Ya., "Contact problems of theory of elasticity". Leningrad, Moscow. Gostekhteorizdat, (1949) Available from the British Library in an English Translation by Foreign Technology Div., FTD-MT-24-61-70 (1970).
8. Muskhelishvili, N.I., "Some basic problems of the mathematical theory of elasticity". 4th Corrected and Augmented Edition, P. Noordhoff, Moscow (1957).
9. Spiegel, M.R., "Mathematical handbook". Schaum's Outline Series, McGraw Hill Book Co. (1968).